



ANÁLISE DA RESPOSTA EM FREQUÊNCIA

CRITÉRIO DE ESTABILIDADE DE NYQUIST

Profa. Cristiane Paim

Introdução

O **Critério de Nyquist** é um método gráfico que permite concluir sobre a **estabilidade de um sistema em malha fechada** a partir de sua resposta em frequência de malha aberta.

Da aplicação do Critério de Nyquist obtém-se o **número de polos de malha fechada no semiplano direito** (SPD), ou seja, o número de polos instáveis do sistema.

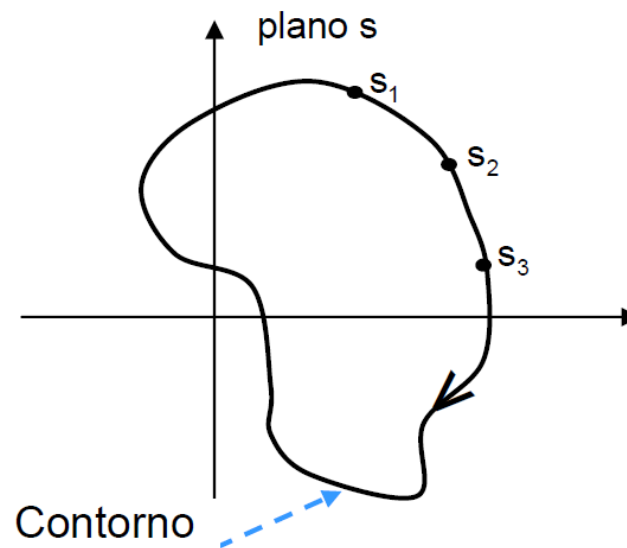
O Critério de Nyquist baseia-se no **Teorema de Cauchy** para variáveis complexas, mais conhecido como **princípio do argumento**.

Para entender o princípio do argumento é necessário conhecer os conceitos de **contorno** e **mapeamento** de um contorno.

Contorno e Mapeamento

Contorno

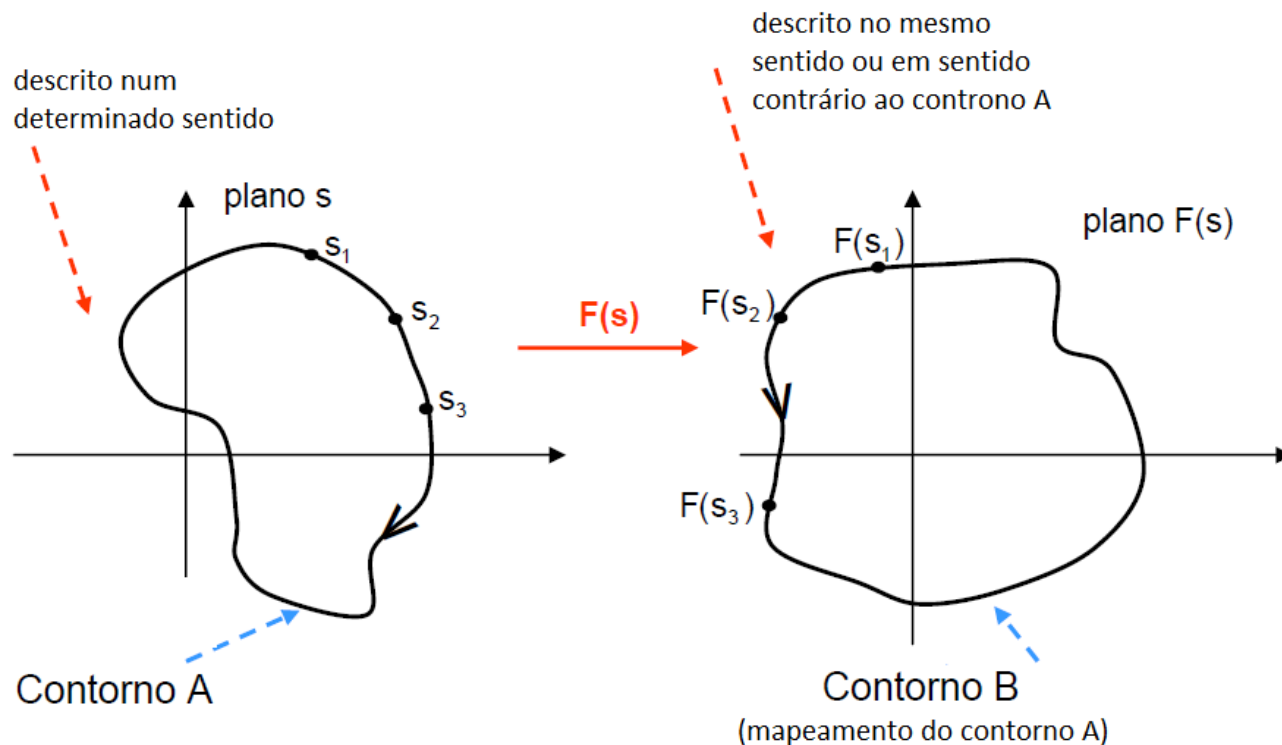
É uma curva que começa e termina no mesmo lugar sem passar mais de uma vez pelo mesmo ponto. No contorno é definido um sentido (horário ou anti-horário) de deslocamento dos pontos.



Contorno e Mapeamento

Mapeamento de um Contorno

Cada ponto do contorno no plano s pode ser mapeado por uma função $F(s)^*$ em um novo plano, gerando um contorno no plano $F(s)$.



* $F(s)$ é uma função racional em s .

Princípio do Argumento (Teorema de Cauchy)

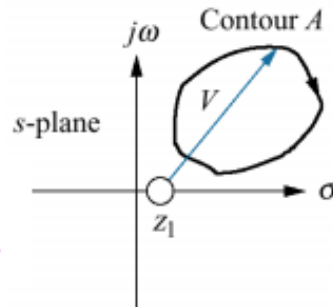
Seja um contorno no plano s definido no sentido horário, contendo Z zeros e P polos. O mapeamento desse contorno circundará a origem (do novo plano) $N = Z - P$ vezes no sentido horário quando $N > 0$ ou anti-horário se $N < 0$.

Se $N = 0$, o mapeamento do contorno não circundará a origem e o sentido do contorno dependerá da função e suas singularidades.

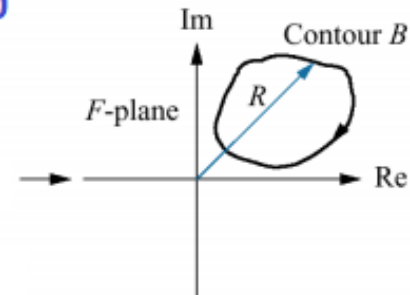
Princípio do Argumento (Teorema de Cauchy)

Exemplos

1 zero
no exterior
do contorno A

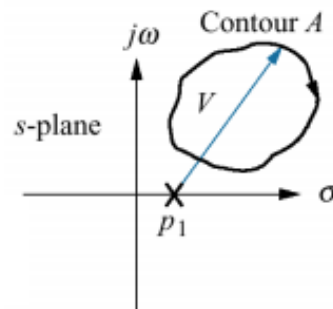


$$P=Z=N=0$$

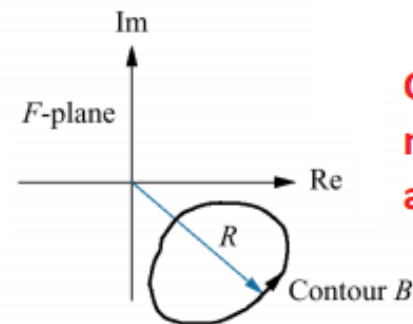


Contorno B
não contém
a origem

1 pólo
no exterior
do contorno A



$$P=Z=N=0$$

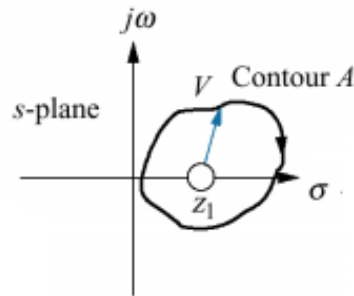


Contorno B
não contém
a origem

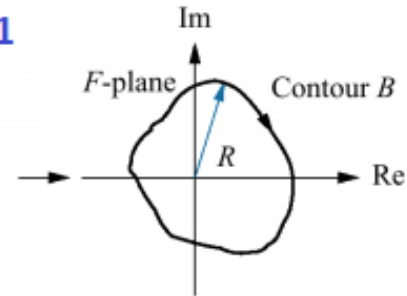
Princípio do Argumento (Teorema de Cauchy)

Exemplos

1 zero
no interior
do contorno A

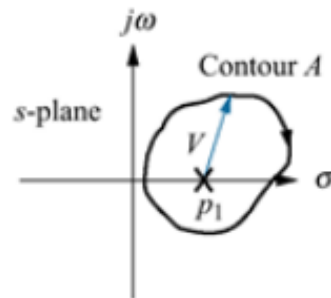


$$P=0, Z=1$$
$$N=1$$

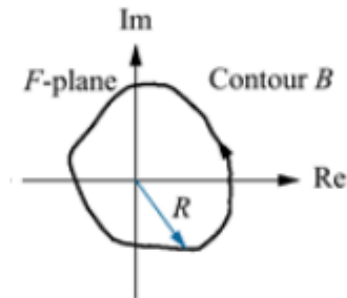


Contorno B
contém a
origem

1 pólo
no interior
do contorno A



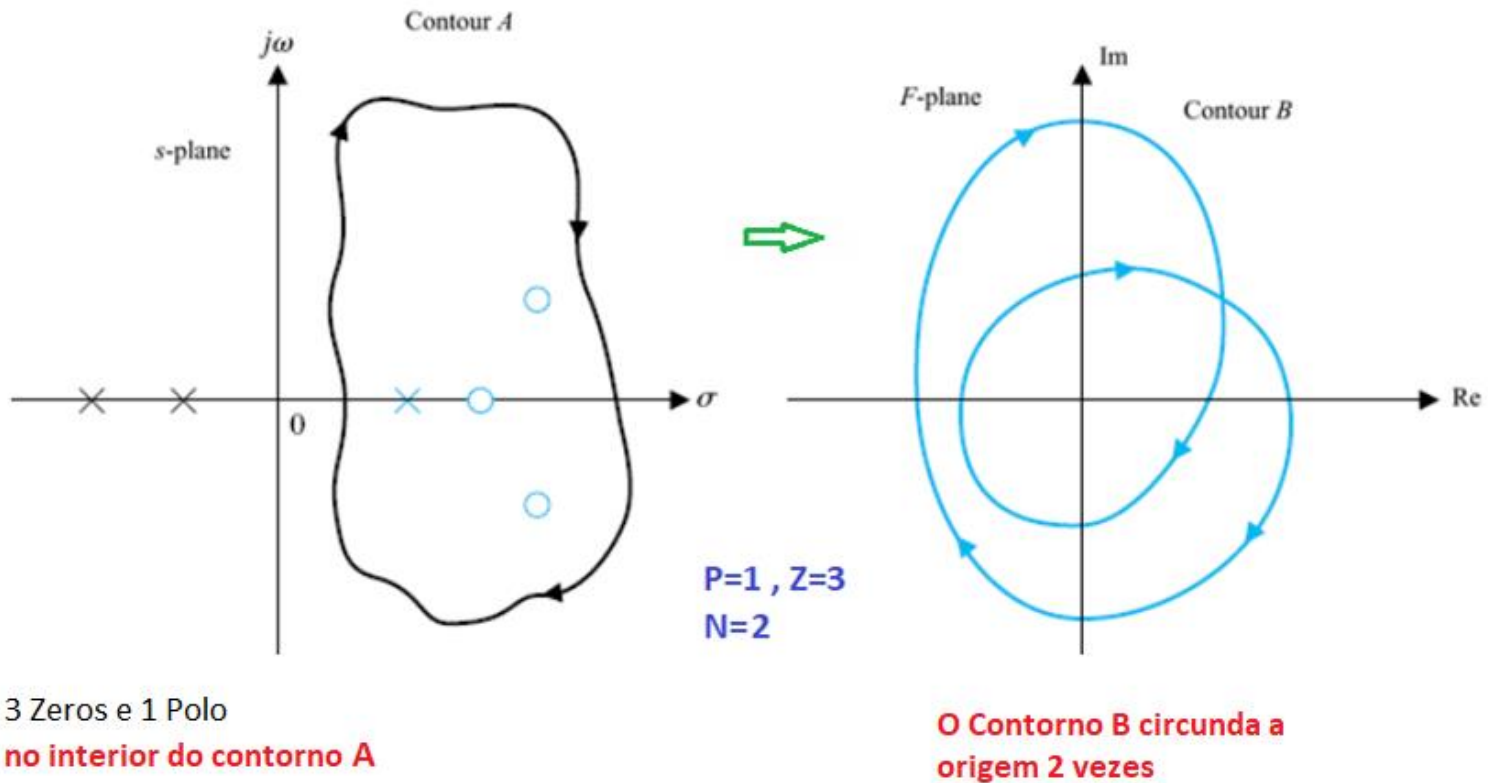
$$P=1, Z=0$$
$$N=-1$$



Contorno B
contém a
origem

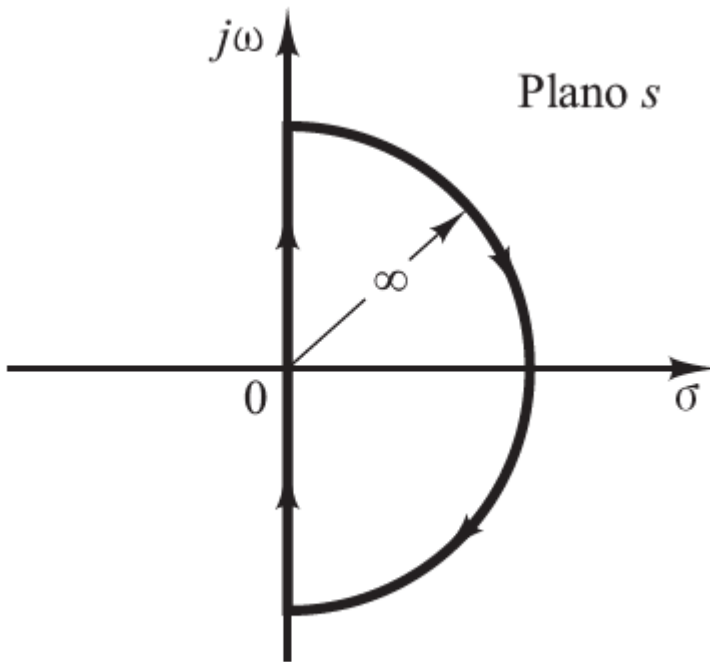
Princípio do Argumento (Teorema de Cauchy)

Exemplos



Aplicação em sistemas de controle

Se for considerado como contorno no plano s todo o SPD, então o mapeamento deste contorno circundará a origem se e somente se a diferença entre o número de polos e zeros no SPD (ou seja, dentro do contorno) for diferente de zero ($N \neq 0$).



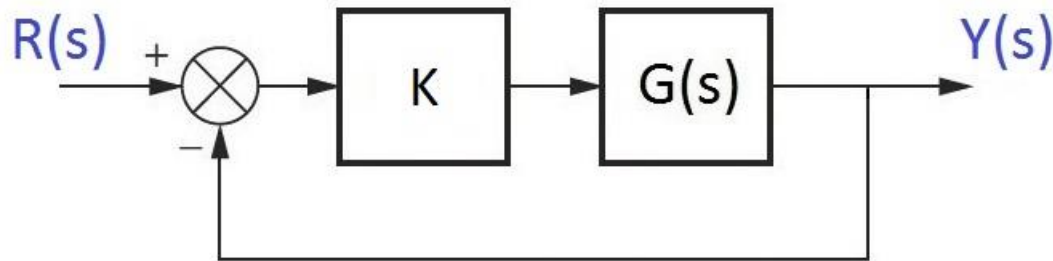
Contorno de Nyquist

O contorno de todo o SPD é chamado de **Contorno de Nyquist** e é definido no sentido horário.

SPD: Semi Plano Direito

Aplicação em sistemas de controle

Seja o sistema de controle:



Os polos de malha fechada serão as soluções da equação característica:

$$\Delta(s) = 1 + KG(s) = 0$$

Assim, para estudar a estabilidade em malha fechada, o princípio do argumento deveria ser aplicado para $1+KG(s)=0$. Seria avaliado se o mapeamento do contorno associado circundaria ou não a origem.

Aplicação em sistemas de controle

Note que

$$1 + KG(s) = 0 \quad \Rightarrow \quad KG(s) = -1$$

Portanto, se o mapeamento associado a $1+KG(s)$ envolver a origem, então, o mapeamento associado a $KG(s)$ envolverá o ponto $(-1+j0)$.

Desse modo, pode-se concluir sobre o número de polos de $1+KG(s)$ no SPD contando-se o número de vezes que o ponto (-1) é circundado pelo gráfico de $KG(s)$, ou seja, considerando a função de malha aberta.

Aplicação em sistemas de controle

Considerando

$$G(s) = \frac{B(s)}{A(s)}$$

a equação característica $1+KG(s)=0$ pode ser escrita como:

$$1 + K \frac{B(s)}{A(s)} = \frac{A(s) + KB(s)}{A(s)} = 0$$

Aplicação em sistemas de controle

Observe que:

- $A(s)$: **polos de $1+KG(s)$** e **polos de $G(s)$**

$$1 + KG(s) = 1 + K \frac{B(s)}{A(s)} = \frac{A(s) + KB(s)}{A(s)} = 0$$

- $A(s) + KB(s)$: **zeros de $1+KG(s)$** e polos de malha fechada (solução de $1+KG(s)=0$)

$$1 + KG(s) = 1 + K \frac{B(s)}{A(s)} = \frac{A(s) + KB(s)}{A(s)} = 0$$

Aplicação em sistemas de controle

Para a aplicação do princípio do argumento e enunciado do critério de Nyquist, considera-se:

- **P: número de polos de malha aberta no SPD** (ou seja, número de polos de $G(s)$ no SPD).
- **N: número de vezes que o gráfico de $KG(s)$ circunda o ponto (-1) no sentido horário.** Se o contorno ocorrer no sentido anti-horário N será negativo.
- **Z: número de zeros de $1+KG(s)$ no SPD,** ou seja, número de polos instáveis de malha fechada.

Portanto, para que o sistema seja estável é necessário obter-se $Z=0$. Como $Z=N+P$, número de vezes que o ponto (-1) é circundado no sentido anti-horário (N negativo) precisa ser igual ao número de polos de malha aberta no SPD.

Critério de Estabilidade de Nyquist

Um sistema representado pela equação característica $1+G(s)=0$ é estável em malha fechada se e somente se o Diagrama de Nyquist de $G(s)$, para s variando de $-j\infty$ a $+j\infty$, não passa pelo ponto crítico (-1) e o número de vezes que o ponto (-1) é circundado pelo diagrama no sentido anti-horário é igual ao número de polos de $G(s)$ no SPD.

O Diagrama de Nyquist é obtido pelo mapeamento do contorno de Nyquist, que é o **Diagrama Polar de $G(s)$** com s variando de $-j\infty$ a $+j\infty$.

O Diagrama de Nyquist é simétrico em relação ao eixo real.

Observação: quando existirem polos sobre o eixo imaginário, o contorno de Nyquist precisa ser modificado.

Exemplo 1

Seja um sistema de controle com realimentação unitária cuja função de transferência de malha aberta é dada pela função de transferência $G(s)$ abaixo. **Deseja-se analisar a estabilidade do sistema utilizando o Critério de Nyquist.**

$$G(s) = \frac{1}{(s+1)^2} = \frac{1}{s^2 + 2s + 1}$$

$$G(j\omega) = \frac{1}{(1-\omega^2) + j2\omega} = \frac{(1-\omega^2) - j2\omega}{(1-\omega^2)^2 + 4\omega^2}$$

Exemplo 1 – Diagrama Polar

$$G(j\omega) = \frac{(1 - \omega^2) - j2\omega}{(1 - \omega^2)^2 + 4\omega^2}$$

Módulo e fase nas frequências limite

$$\omega = 0 \quad G(0) = 1 - j0 = 1 \angle 0^\circ$$

$$\omega = +\infty \quad G(\infty) = 0 \angle -180^\circ$$

Cruzamento com eixo real

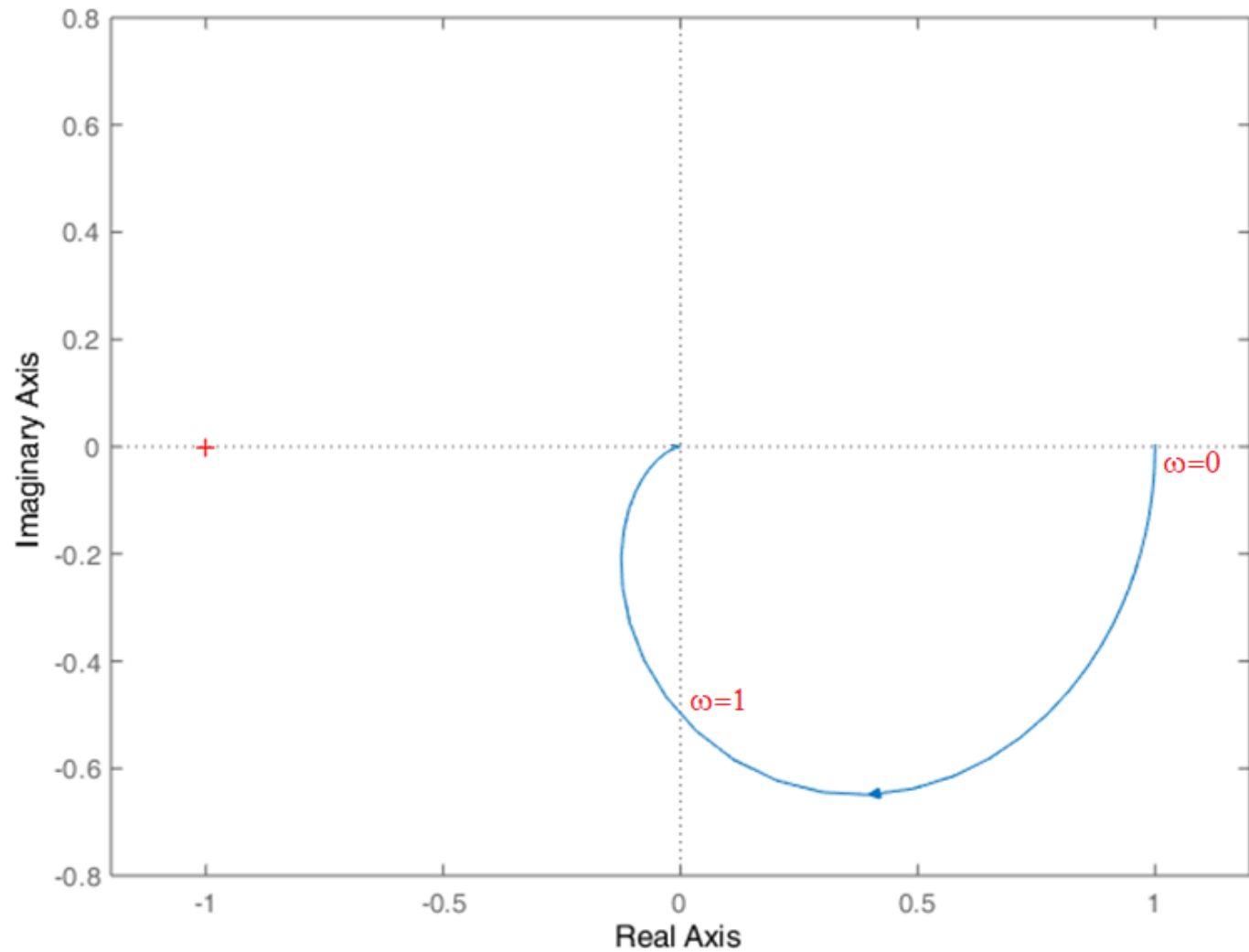
O diagrama toca o eixo real apenas em $\omega=0$ e $\omega=\infty$

Cruzamento com eixo imaginário

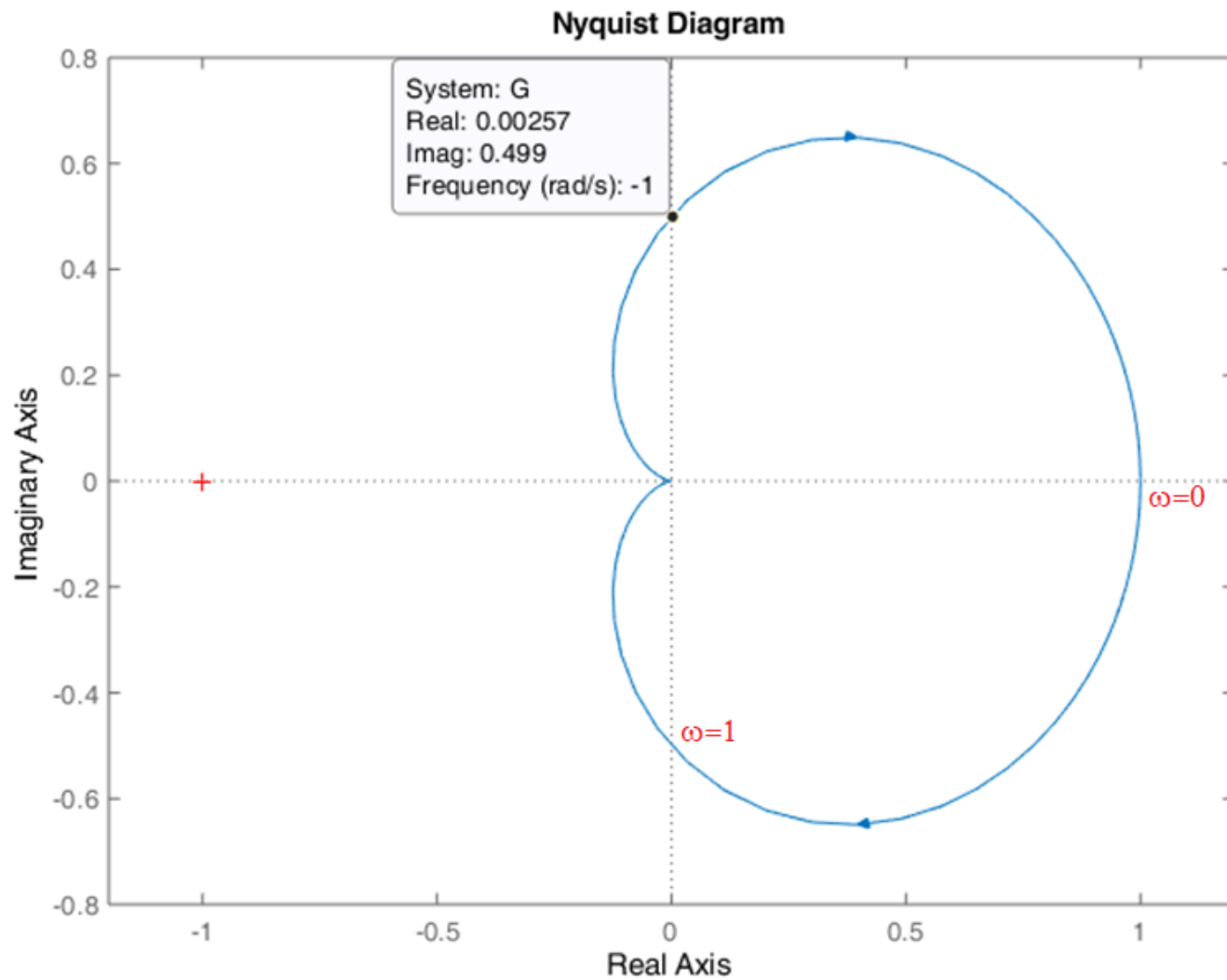
$$1 - \omega^2 = 0 \quad \rightarrow \quad \omega = \pm 1$$

$$\omega = 1 \quad \rightarrow \quad G(j1) = -j \frac{1}{2}$$

Exemplo 1 – Diagrama Polar



Exemplo 1 – Diagrama de Nyquist



Exemplo 1 – Análise da Estabilidade

Análise da estabilidade

$$G(s) = \frac{1}{(s+1)^2}$$

P=0: G(s) não possui polos no SPD

N=0: Diagrama de Nyquist não circunda o ponto (-1)

Assim,

$$Z = N + P = 0$$

Portanto, não existem polos de malha fechada no SPD.

Logo, o sistema é estável em malha fechada.

Exemplo 2

Analisar a estabilidade do sistema abaixo utilizando o Critério de Nyquist.

$$G(s) = \frac{s-2}{s^2+2s+2} \rightarrow G(j\omega) = \frac{j\omega-2}{(2-\omega^2)+j2\omega}$$

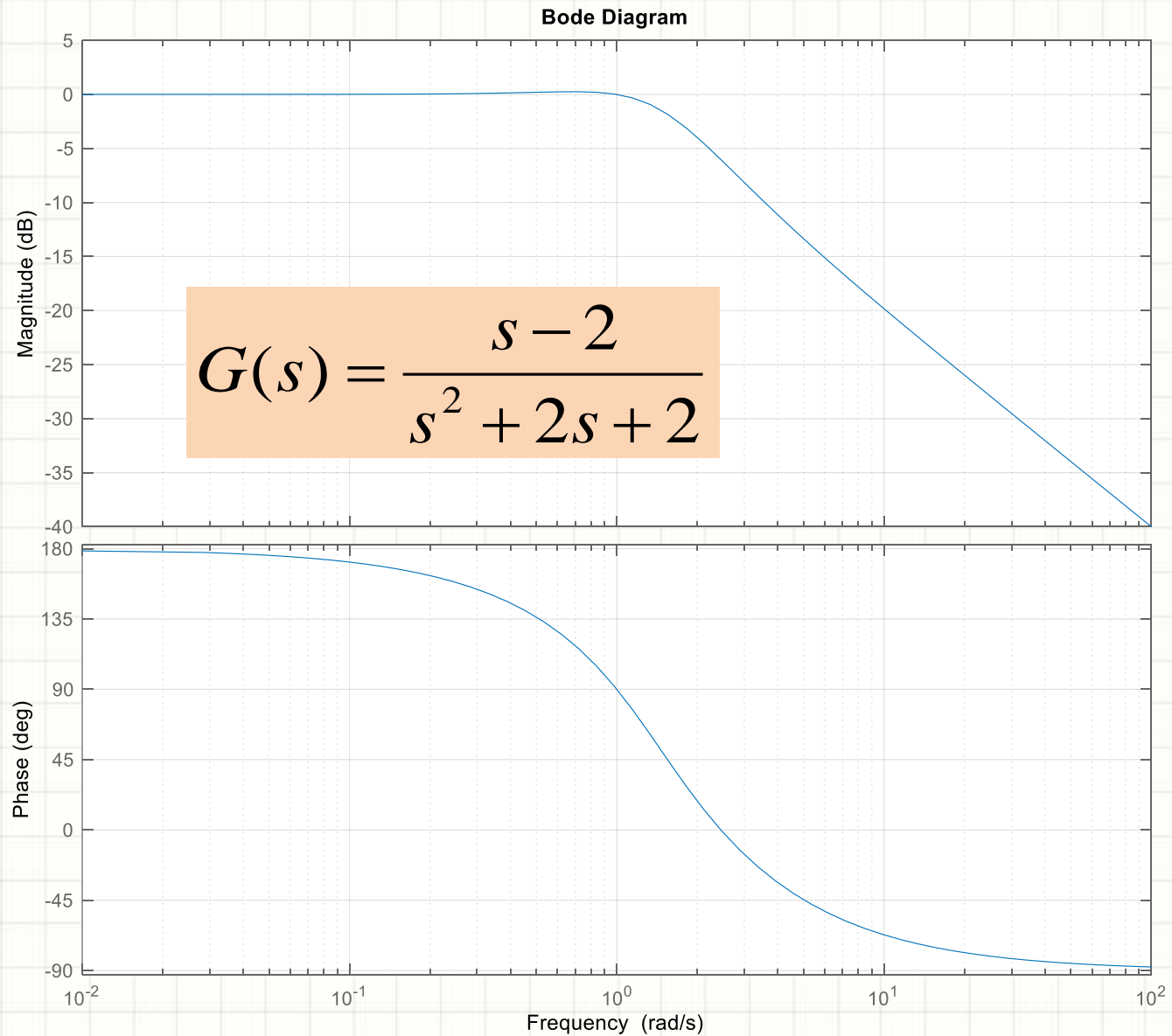
$$G(j\omega) = \frac{4\omega^2-4}{(2-\omega^2)^2+4\omega^2} + j \frac{\omega(6-\omega^2)}{(2-\omega^2)^2+4\omega^2}$$

Nas frequências limite:

$$G(0) = -1 + j0 = 1 \angle 180^\circ$$

$$G(j\omega) \approx \frac{1}{j\omega} \rightarrow G(\infty) = -j \frac{1}{\infty} = 0 \angle -90^\circ$$

Exemplo 2 – Diagramas de Bode



Exemplo 2

$$G(j\omega) = \frac{(4\omega^2 - 4) + j\omega(6 - \omega^2)}{(2 - \omega^2)^2 + 4\omega^2}$$

Cruzamento com eixo real:

$$\omega = 0 \quad \text{ou} \quad 6 - \omega^2 = 0$$

$$\omega = 0 \rightarrow G(0) = -1$$

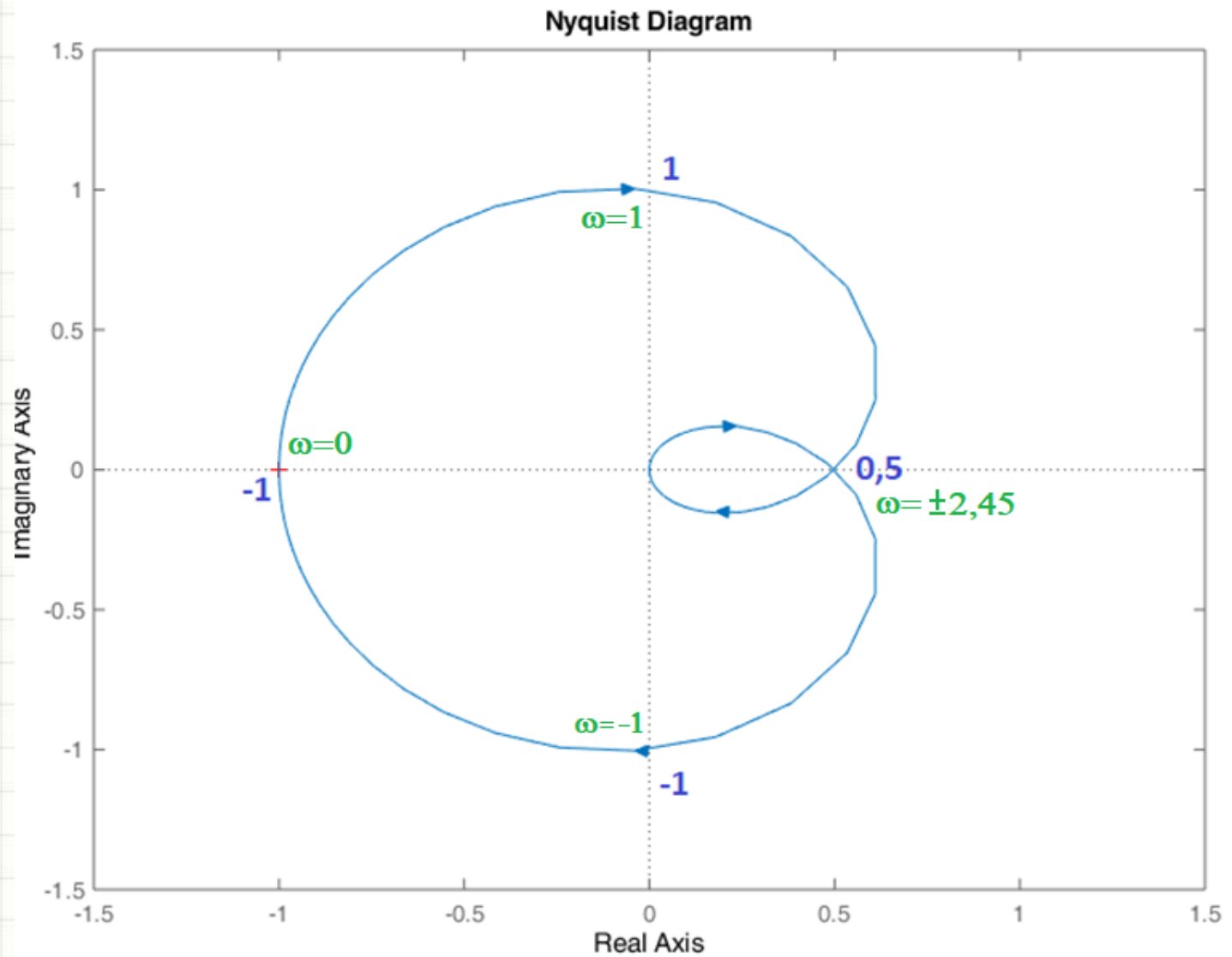
$$\omega = \pm\sqrt{6} \rightarrow G(j\sqrt{6}) = \frac{1}{2}$$

Cruzamento com eixo imaginário:

$$4\omega^2 - 4 = 0 \rightarrow \omega = \pm 1$$

$$\omega = 1 \rightarrow G(j1) = j$$

Exemplo 2 – Diagrama de Nyquist



Exemplo 2 – Análise da estabilidade

Análise da estabilidade

$$G(s) = \frac{s - 2}{s^2 + 2s + 2}$$

P=0: G(s) não possui polos no SPD

N=0: Diagrama de Nyquist não circunda o ponto (-1)

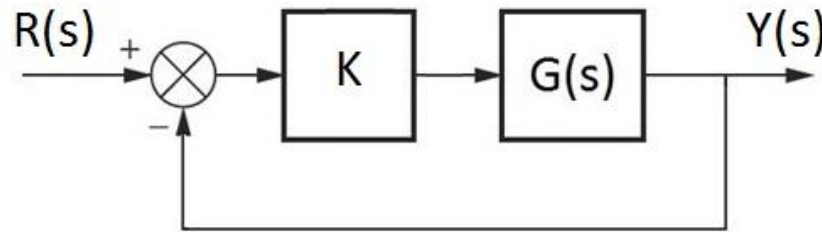
Assim,

$$Z = N + P = 0$$

Porém, o Diagrama de Nyquist passa sobre o ponto crítico (-1)
e, portanto, **o sistema é instável.**

Estabilidade para um parâmetro K variável

Seja o sistema



Deseja-se avaliar a estabilidade do sistema em função da variação do parâmetro K .

Observe que, $KG(s)$ circundar o ponto (-1) equivale a $G(s)$ circundar o ponto $(-1/K)$.

Assim, para a análise da estabilidade observa-se quantas vezes o Diagrama de Nyquist circunda $(-1/K)$ considerando todos os valores possíveis para o parâmetro K .

Estabilidade para um parâmetro K variável

| Eq. Característica | Diagrama de Nyquist |
|--------------------|--------------------------------------|
| $1+KG(s)=0$ | $1+KG(s)$ circundar a origem |
| $KG(s)=-1$ | $KG(s)$ circundar o ponto (-1) |
| $G(s)=-1/K$ | $G(s)$ circundar o ponto $(-1/K)$ |

Exemplo 3

Analisar a estabilidade do sistema do exemplo 2 considerando o ganho $-\infty < K < +\infty$.

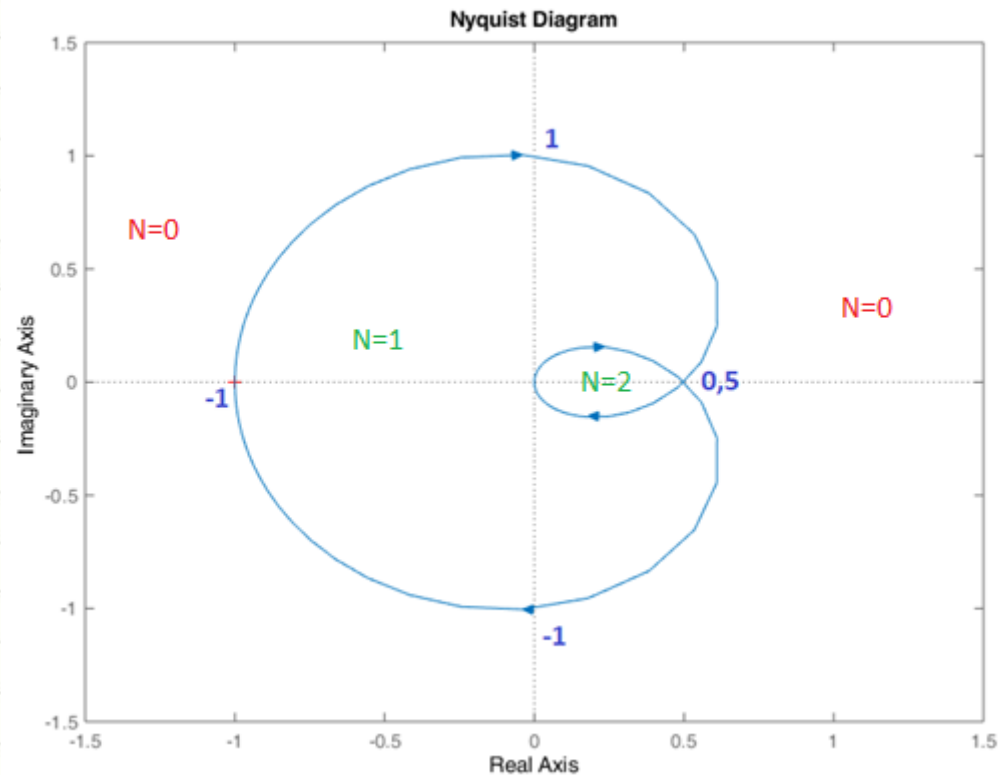
$$G(s) = \frac{s-2}{s^2 + 2s + 2}$$

Para estabilidade:

$$Z = N + P = 0$$

Como $P=0$, então é necessário obter $N=0$. Do gráfico, N será zero para:

$$-\frac{1}{K} < -1 \quad \text{e} \quad -\frac{1}{K} > \frac{1}{2}$$



Exemplo 3

De $-\frac{1}{K} < -1$ obtém-se

$$K > 0 \quad \text{e} \quad -K > -1 \rightarrow K < 1$$

Ou seja, **o sistema é estável para $0 < K < 1$.**

De $-\frac{1}{K} > \frac{1}{2}$ obtém-se

$$K < 0 \quad \text{e} \quad -K < 2 \rightarrow K > -2$$

Ou seja, **o sistema é estável para $-2 < K < 0$.**

Exemplo 3

Portanto, **o sistema em malha fechada será estável para**

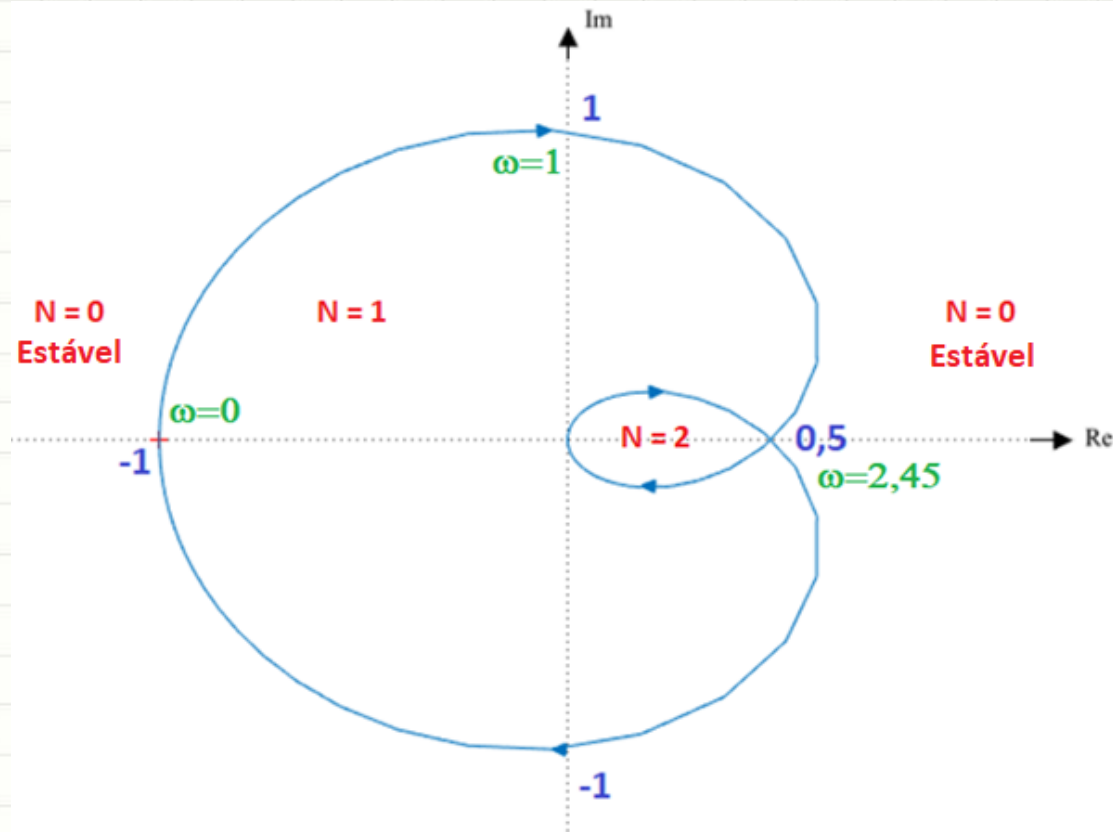
$$-2 < K < 1$$

sendo $K \neq 0$.

Lembre que $K=0$, representa o sistema em malha aberta.

Exemplo 3

Análise para variação completa do ganho K



$$N = 1 \rightarrow -1 < -\frac{1}{K} < 0$$

$$N = 2 \rightarrow 0 < -\frac{1}{K} < \frac{1}{2}$$

Exemplo 3

Análise para variação completa do ganho K

N=1 \Rightarrow Sistema instável com 1 polo no SPD.

$$\begin{aligned} -1 < -\frac{1}{K} < 0 & \quad -\frac{1}{K} < 0 \rightarrow K > 0 \\ & \quad -\frac{1}{K} > -1 \rightarrow K > 1 \end{aligned}$$

$$K > 1$$

N=2 \Rightarrow Sistema instável com 2 polos no SPD.

$$\begin{aligned} 0 < -\frac{1}{K} < \frac{1}{2} & \quad -\frac{1}{K} > 0 \rightarrow K < 0 \\ & \quad -\frac{1}{K} < \frac{1}{2} \rightarrow K < -2 \end{aligned}$$

$$K < -2$$

Exemplo 3

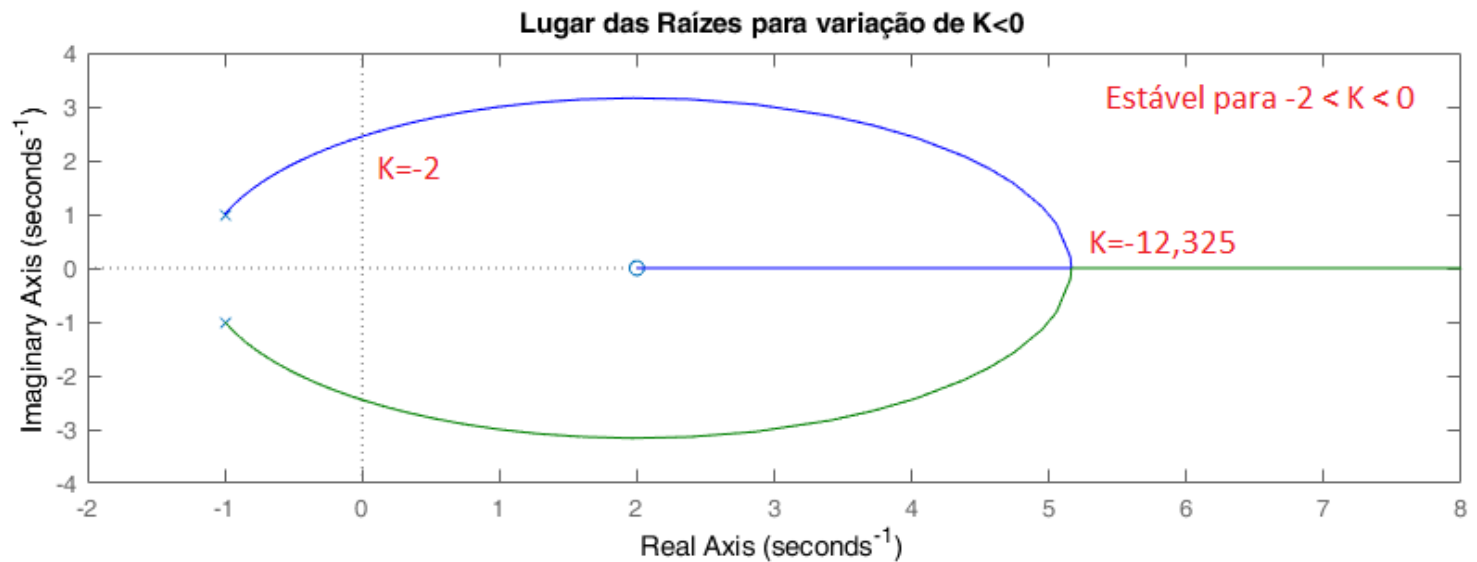
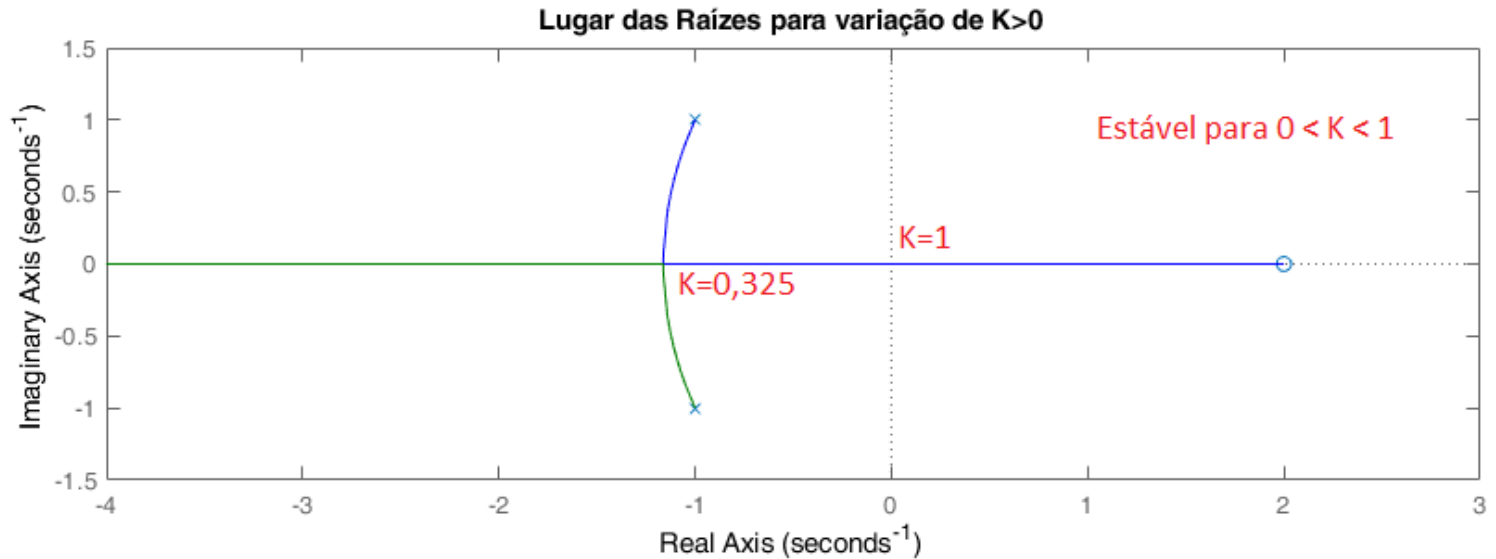
Análise para a variação completa do ganho K



| Ganho | Polos de Malha fechada |
|---------|--------------------------|
| $K=-5$ | $p_{1,2}=1,5\pm j3,12$ |
| $K=-2$ | $p_{1,2}=\pm j2,45$ |
| $K=0,5$ | $p_1=-0,5$ e $p_2=-2$ |
| $K=1$ | $p_1=0$ e $p_2=-3$ |
| $K=2$ | $p_1=-4,45$ e $p_2=0,45$ |

$K \neq 0$

Exemplo 3 – Lugar das Raízes



Exemplo 4

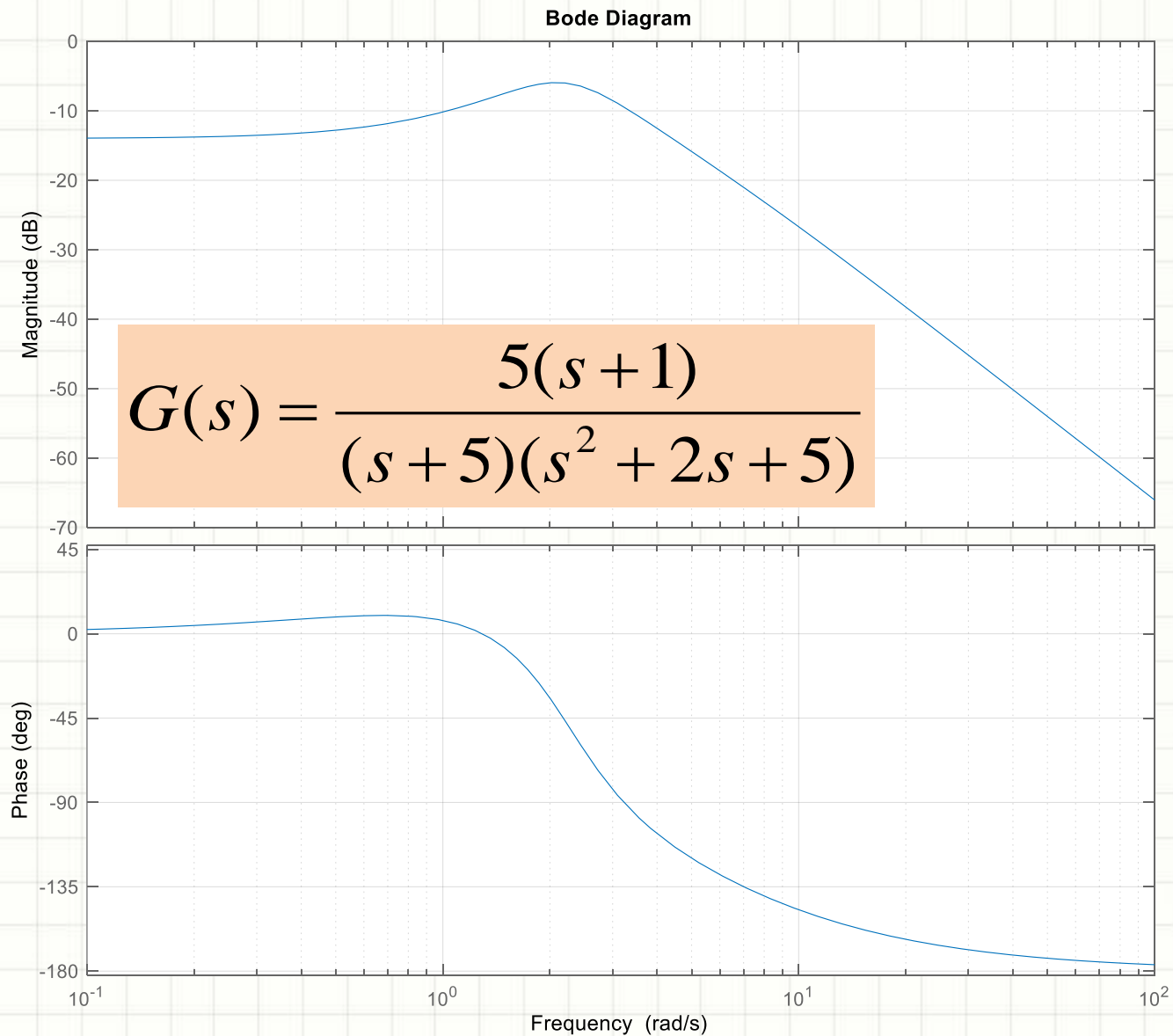
Seja a função de transferência abaixo (vista anteriormente como exemplo de diagrama polar). Analisar a estabilidade do sistema considerando o ganho $-\infty < K < +\infty$.

$$G(s) = \frac{5(s+1)}{(s+5)(s^2+2s+5)} = \frac{5(s+1)}{s^3+7s^2+15s+25}$$

$$G(j\omega) = \frac{5(j\omega+1)}{(25-7\omega^2) + j\omega(15-\omega^2)}$$

$$G(j\omega) = \frac{5[(25+8\omega^2-\omega^4) + j\omega(10-6\omega^2)]}{(25-7\omega^2)^2 + \omega^2(15-\omega^2)^2}$$

Exemplo 4 – Diagramas de Bode



Exemplo 4 – Diagrama Polar

Conforme obtido anteriormente,

$$G(0) = \frac{5 \times 25 + j0}{(25)^2} = 0,2 \angle 0^\circ$$

e

$$G(\infty) \approx -\frac{1}{\omega^2} = 0 \angle -180^\circ$$

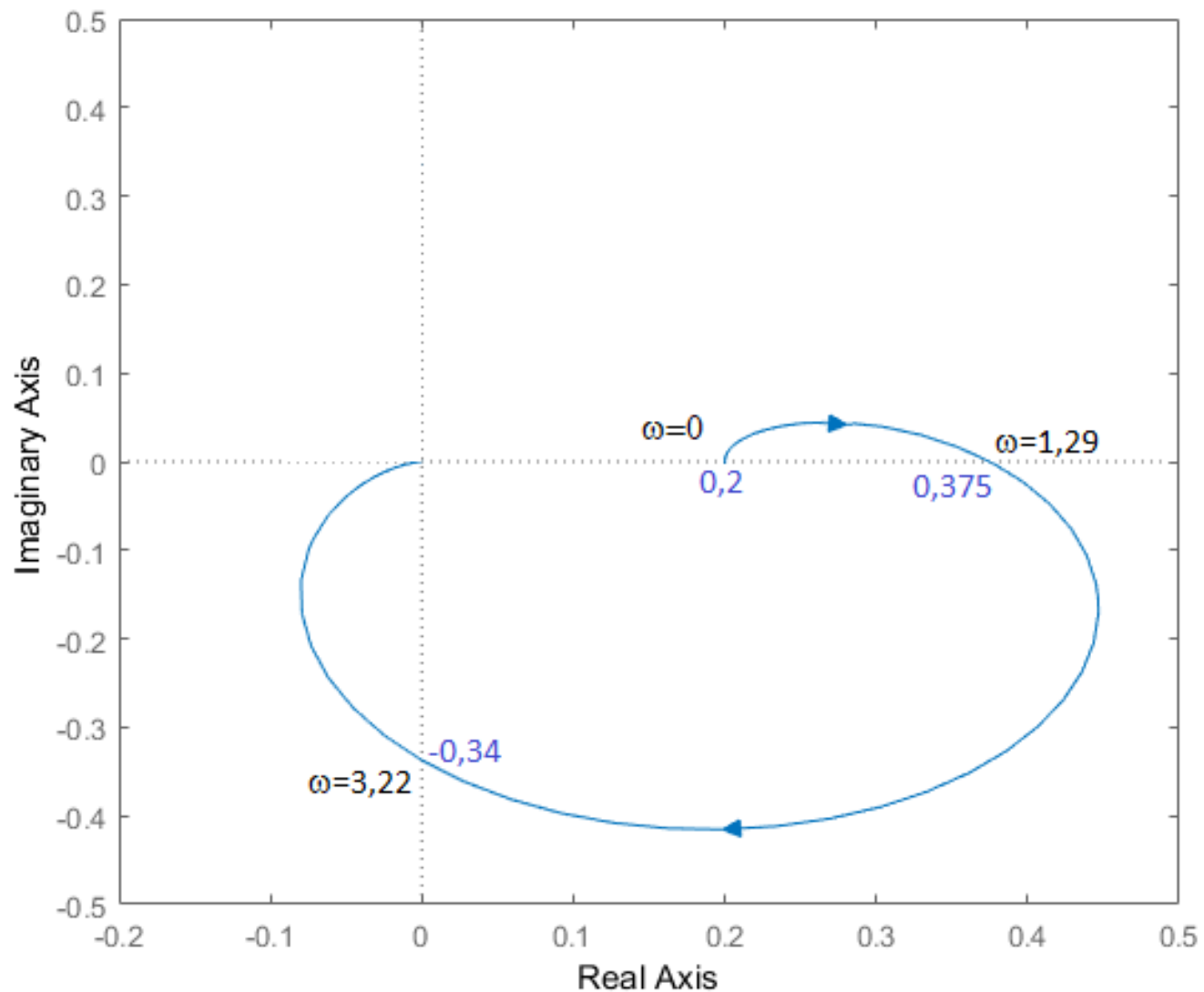
Cruzamento com eixo real:

$$\omega = 1,29 \rightarrow G(j1,29) = 0,375$$

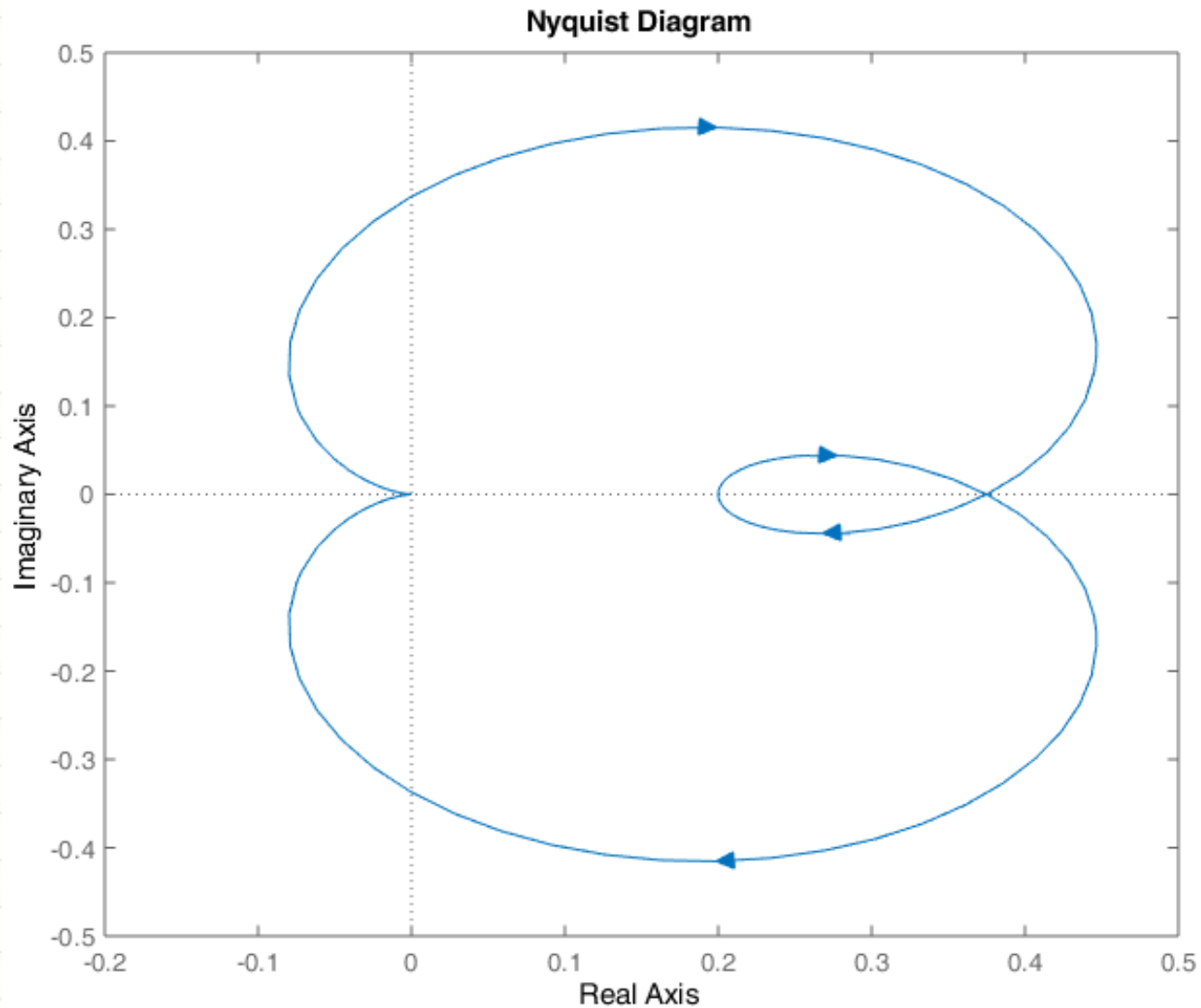
Cruzamento com eixo imaginário:

$$\omega = 3,22 \rightarrow G(j3,22) = -0,34$$

Exemplo 4 – Diagrama Polar



Exemplo 4 – Diagrama de Nyquist



Exemplo 4 – Análise da estabilidade

Análise da estabilidade

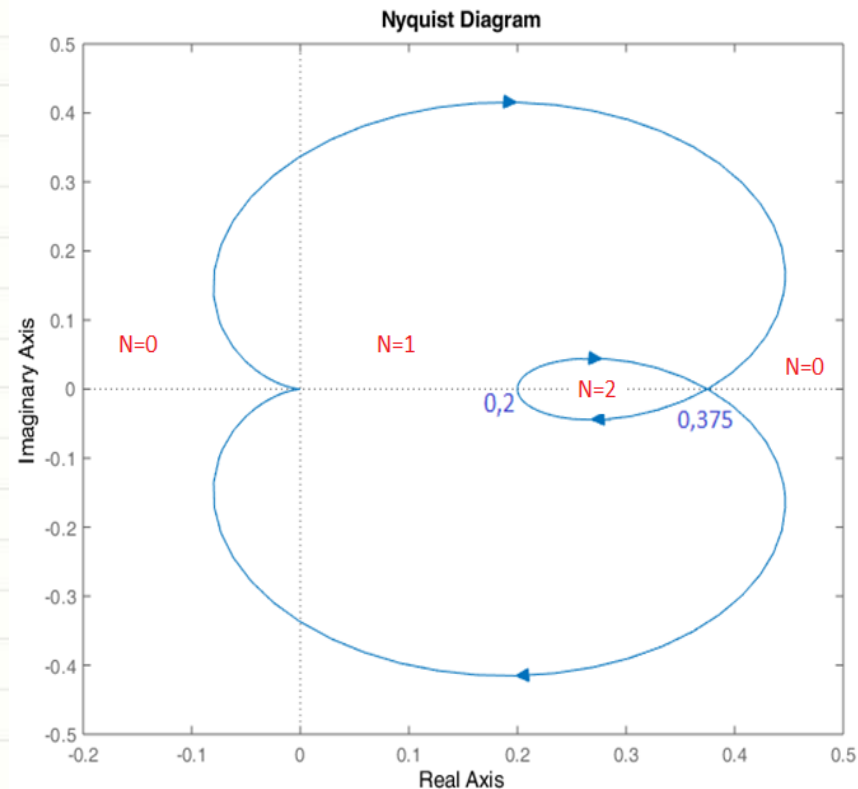
$$G(s) = \frac{5(s+1)}{(s+5)(s^2+2s+5)}$$

Para estabilidade é preciso garantir: $Z = N + P = 0$

Como $P=0$, então é necessário obter $N=0$.

Do gráfico, N será zero
para:

$$-\frac{1}{K} < 0 \quad \text{e} \quad -\frac{1}{K} > 0,375$$



Exemplo 4 – Análise da estabilidade

$$-\frac{1}{K} < 0 \rightarrow K > 0$$

$$-\frac{1}{K} > 0,375 \rightarrow K > -2,667$$

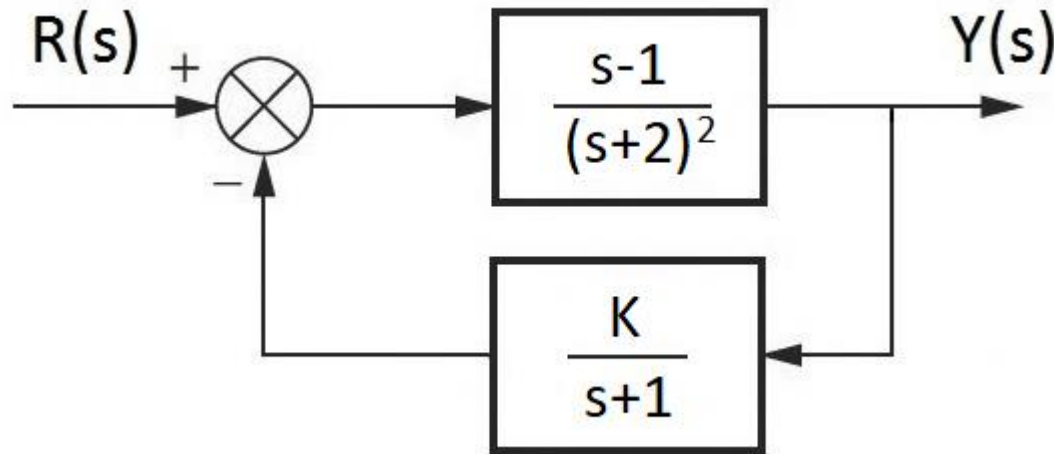
Portanto, **o sistema em malha fechada será estável para**

$$-2,667 < K < +\infty$$

sendo $K \neq 0$.

Exemplo 5

Analisar a estabilidade do sistema abaixo considerando o ganho $-\infty < K < +\infty$.



O diagrama de Nyquist será traçado considerando a equação característica:

$$1 + K \frac{(s-1)}{(s+1)(s+2)^2} = 0$$

Exemplo 5

O Diagrama de Nyquist será traçado para

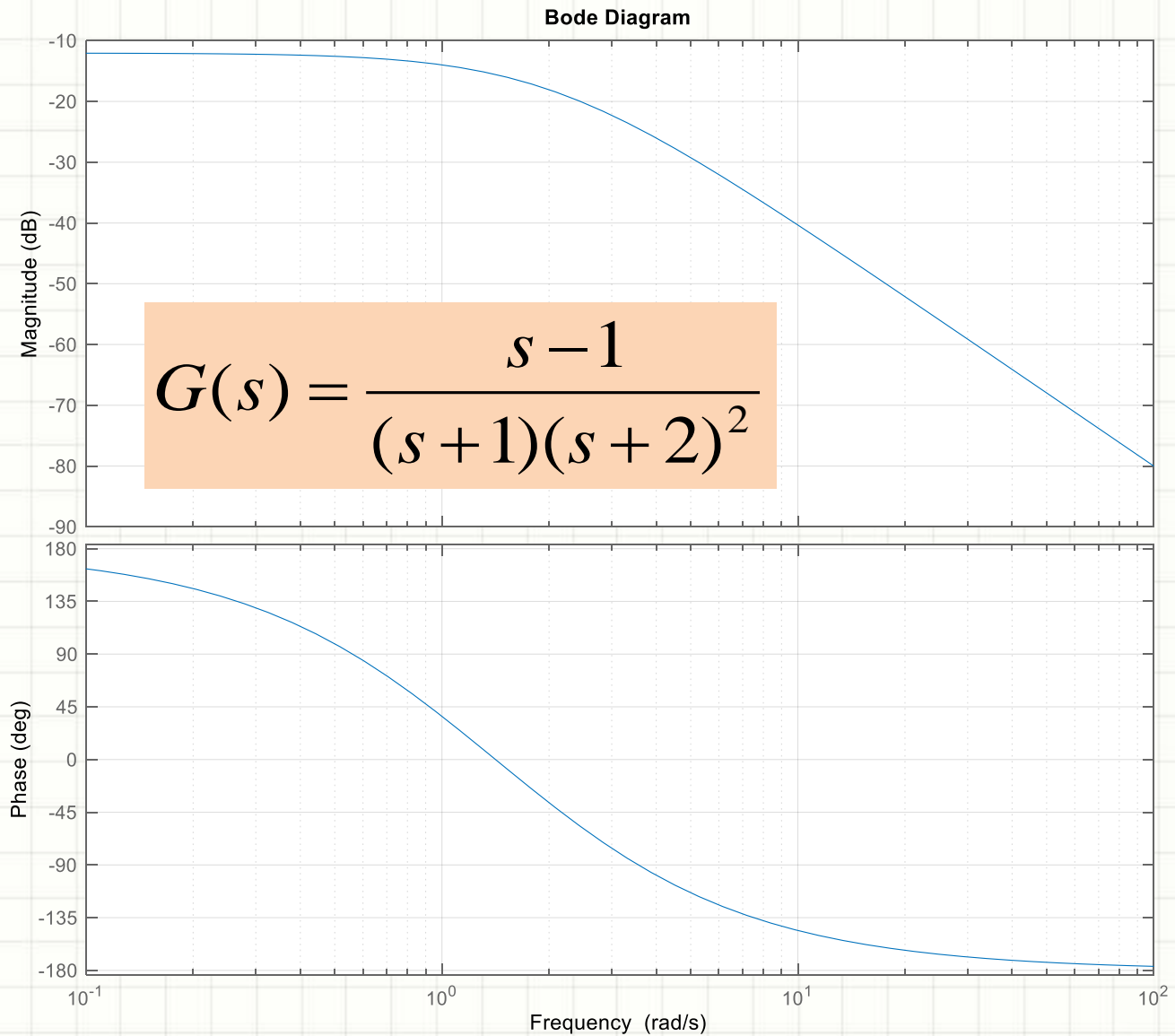
$$G(s) = \frac{(s-1)}{(s+1)(s+2)^2} = \frac{(s-1)}{s^3 + 5s^2 + 8s + 4}$$

No domínio da frequência

$$G(j\omega) = \frac{-1 + j\omega}{(4 - 5\omega^2) + j\omega(8 - \omega^2)}$$

$$G(j\omega) = \frac{(-4 + 13\omega^2 - \omega^4) + j\omega(12 - 6\omega^2)}{(4 - 5\omega^2)^2 + \omega^2(8 - \omega^2)^2}$$

Exemplo 5 – Diagramas de Bode



Exemplo 5

$$G(j\omega) = \frac{(-4 + 13\omega^2 - \omega^4) + j\omega(12 - 6\omega^2)}{(4 - 5\omega^2)^2 + \omega^2(8 - \omega^2)^2}$$

Na frequências limite obtém-se,

$$G(0) = -\frac{1}{4} + j0 = 0,25 \angle 180^\circ$$

e

$$G(\infty) \approx -\frac{1}{\omega^2} = 0 \angle -180^\circ$$

Cruzamento com eixo real: $12 - 6\omega^2 = 0$

$$\omega = \pm\sqrt{2} \rightarrow G(j\sqrt{2}) = 1/6 = 0,167$$

Exemplo 5

$$G(j\omega) = \frac{(-4 + 13\omega^2 - \omega^4) + j\omega(12 - 6\omega^2)}{(4 - 5\omega^2)^2 + \omega^2(8 - \omega^2)^2}$$

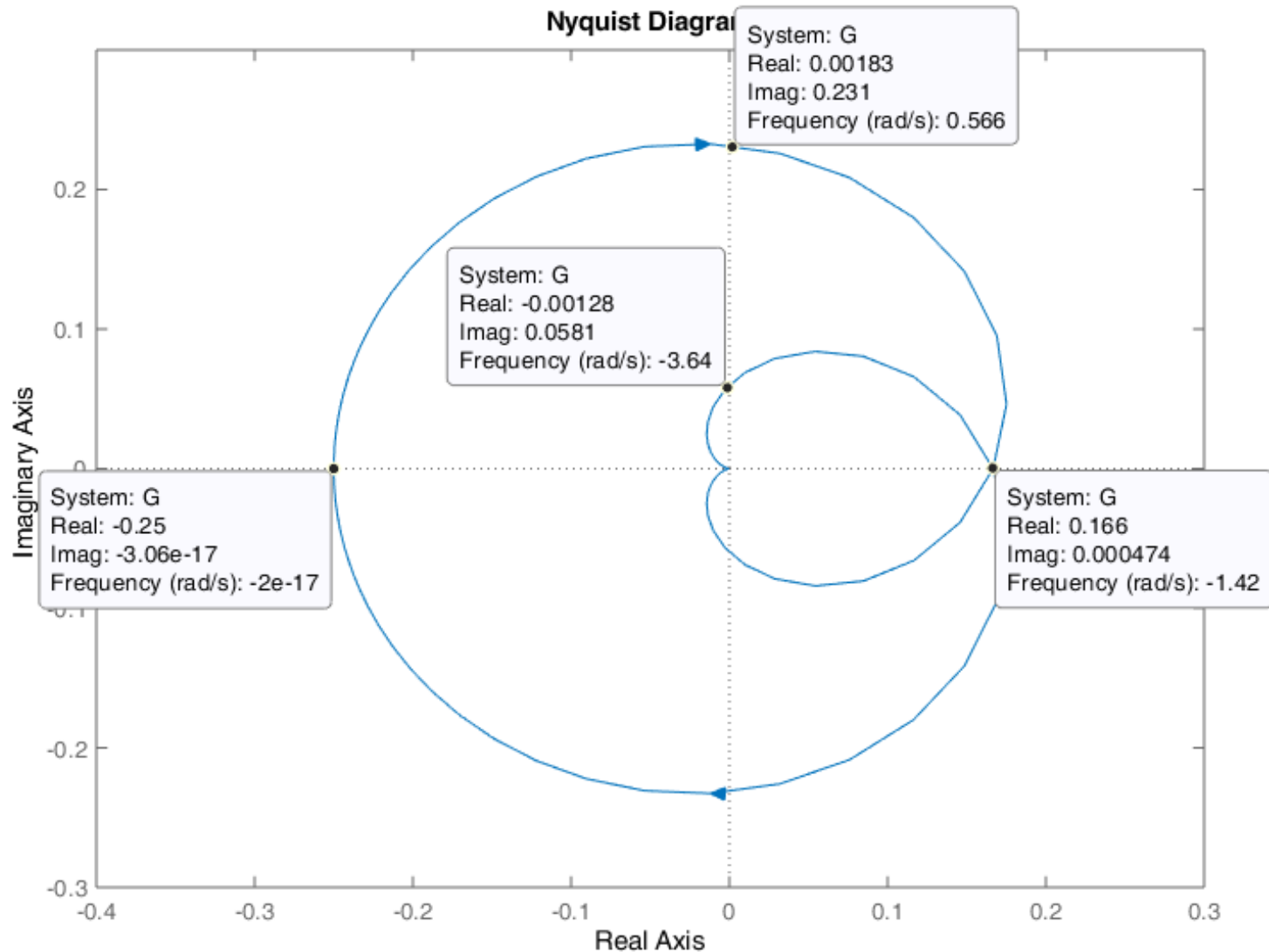
Cruzamento com eixo imaginário: $-4 + 13\omega^2 - \omega^4 = 0$

$$\omega = \pm 0,56 \rightarrow G(j0,56) = j0,231$$

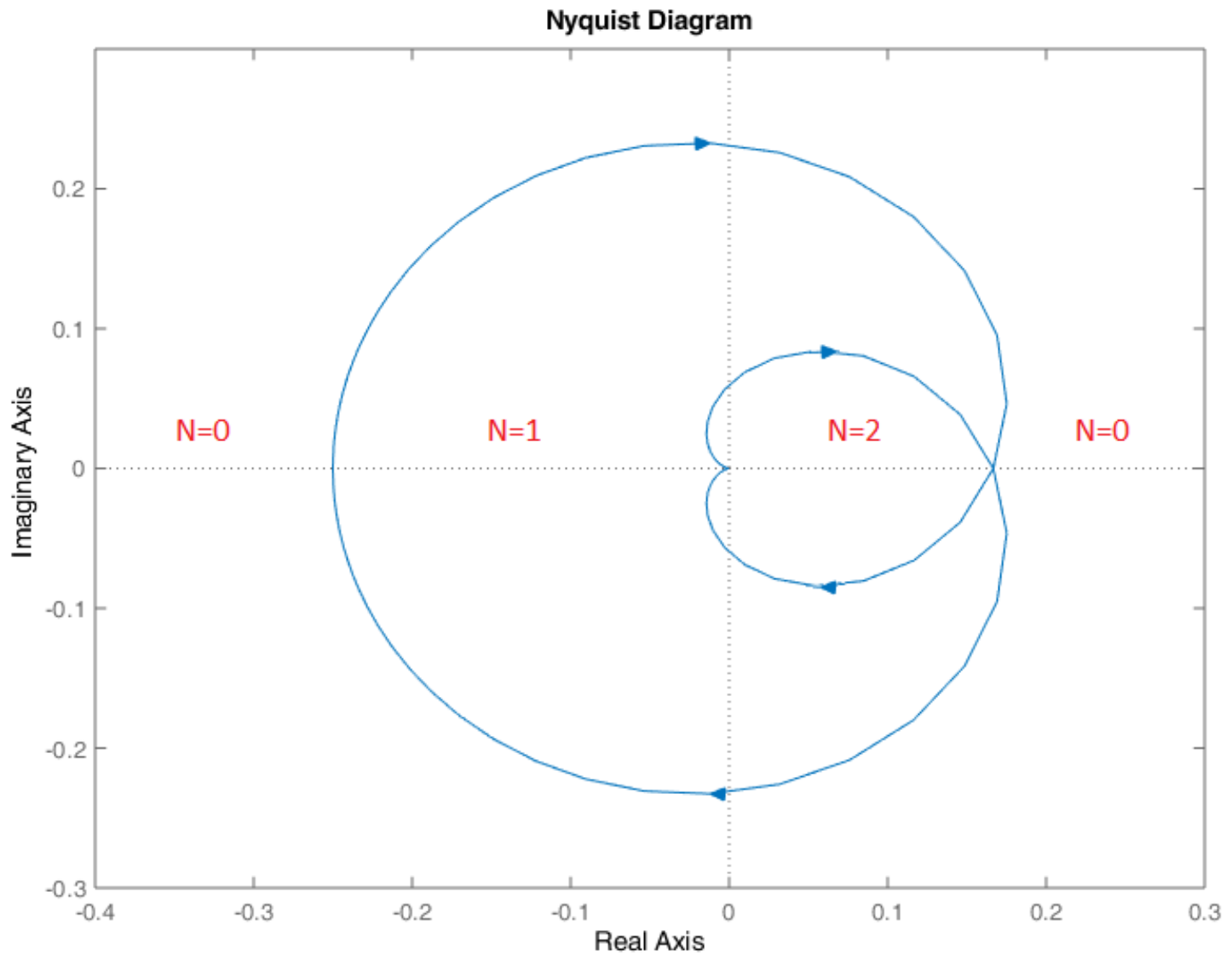
$$\omega = \pm 3,56 \rightarrow G(j3,56) = -j0,06$$

Ou seja, existem 2 cruzamentos com o eixo imaginário.

Exemplo 5 – Diagrama de Nyquist



Exemplo 5



Exemplo 5 – Análise da estabilidade

Análise da estabilidade

Para estabilidade é preciso garantir: $Z = N + P = 0$

Como $P=0$, então é necessário obter $N=0$.

Do gráfico, N será zero para:

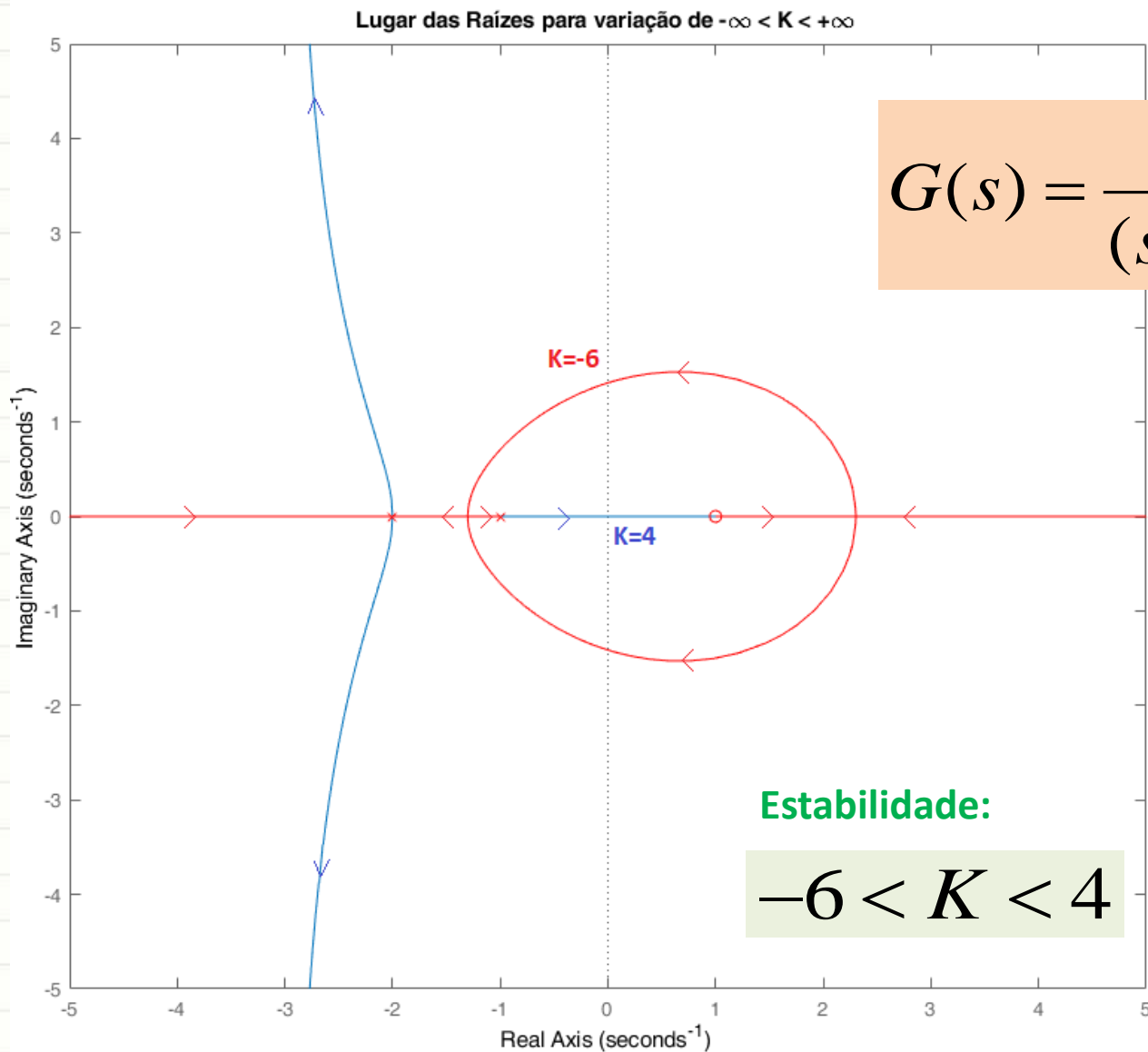
$$-\frac{1}{K} < -\frac{1}{4} \quad \text{e} \quad -\frac{1}{K} > \frac{1}{6}$$

Portanto, **o sistema em malha fechada será estável para**

$$-6 < K < 4$$

sendo $K \neq 0$.

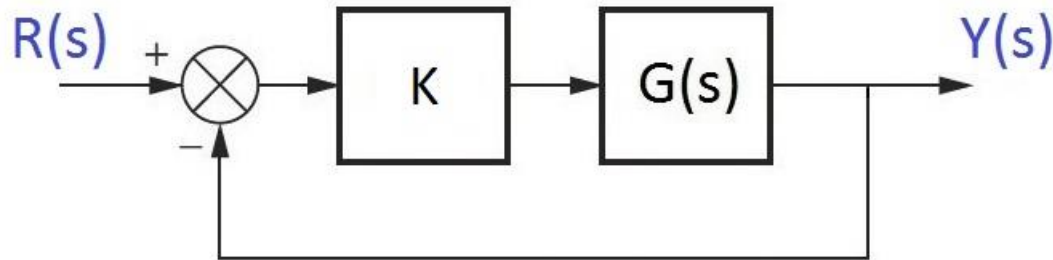
Exemplo 5 – Lugar das Raízes



$$G(s) = \frac{s - 1}{(s + 1)(s + 2)^2}$$

Exemplo 6

Seja o sistema de controle

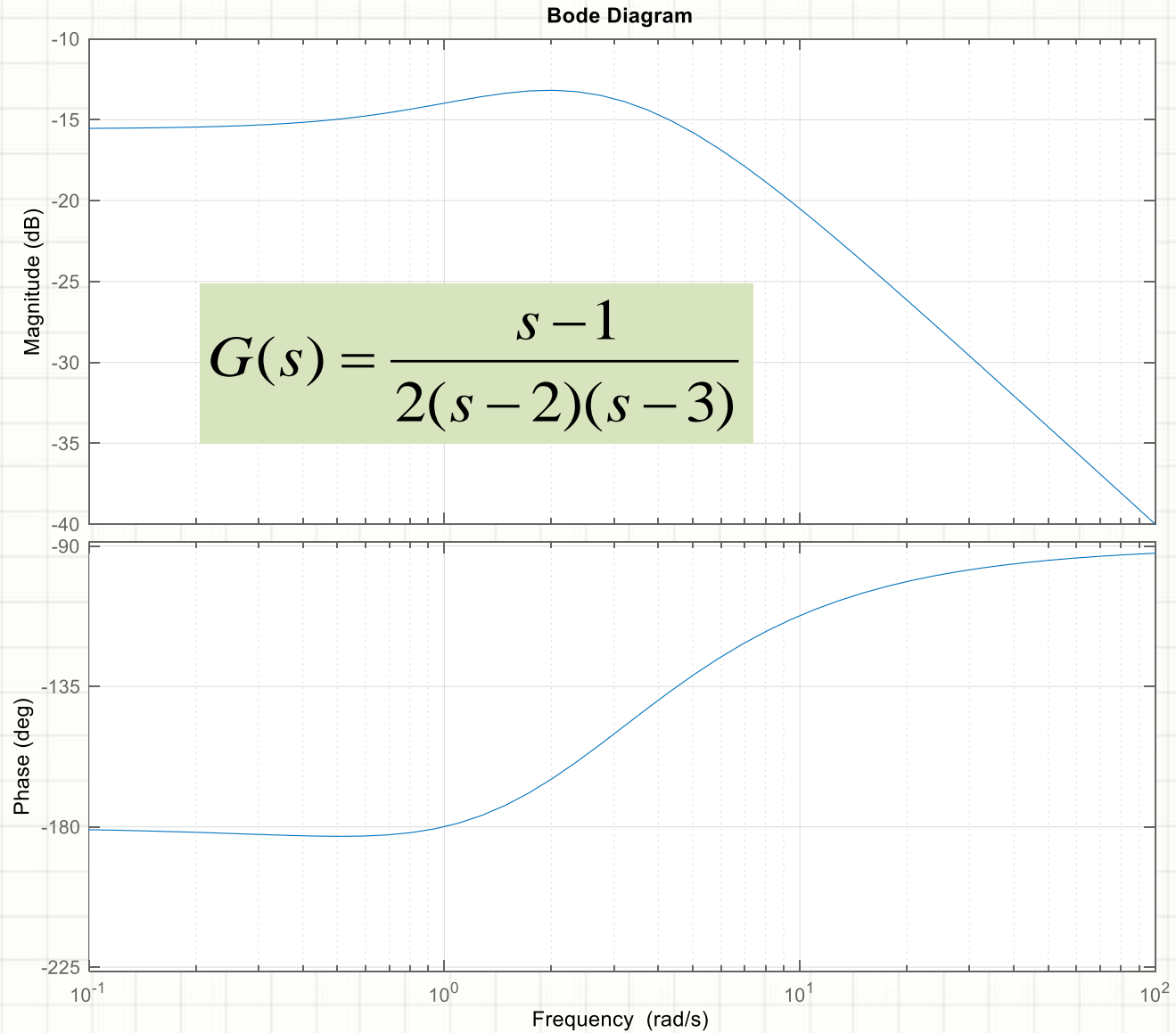


sendo

$$G(s) = \frac{s - 1}{2(s - 2)(s - 3)}$$

Avaliar a estabilidade do sistema utilizando o critério de estabilidade de Nyquist.

Exemplo 6 – Diagramas de Bode



Exemplo 6

O Diagrama de Nyquist será traçado para:

$$G(j\omega) = \frac{1}{2} \frac{(-6 - 4\omega^2) - j\omega(1 - \omega^2)}{(6 - \omega^2)^2 + 25\omega^2}$$

Nas frequências limite:

$$\omega = 0 \quad G(0) = -\frac{1}{12} + j0 = \frac{1}{12} \angle -180^\circ$$

$$\omega \rightarrow \infty \quad G(\infty) \approx \frac{1}{j\omega} = 0 \angle -90^\circ$$

Exemplo 6

$$G(j\omega) = \frac{1}{2} \frac{(-6 - 4\omega^2) - j\omega(1 - \omega^2)}{(6 - \omega^2)^2 + 25\omega^2}$$

Cruzamento com eixo real:

$$\omega = \pm 1 \rightarrow G(j1) = -\frac{1}{10}$$

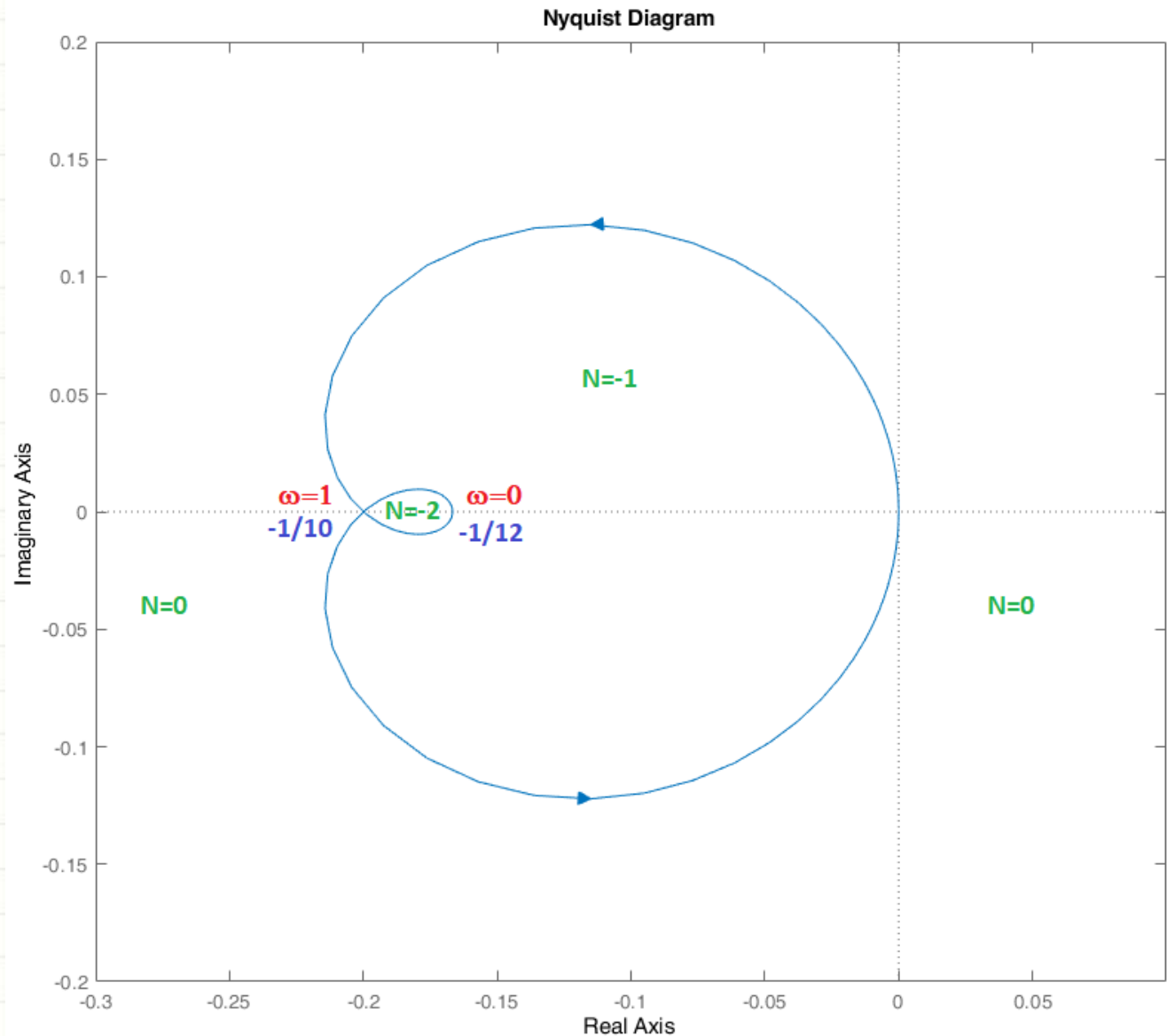
Cruzamento com eixo imaginário:

$$-6 - 4\omega^2 \rightarrow \omega = \pm j\sqrt{6/4}$$

frequência
complexa

Logo, **não existe cruzamento com eixo imaginário.**

Exemplo 6 – Diagrama de Nyquist



Exemplo 6 – Análise da estabilidade

Análise da estabilidade

P=2: G(s) possui 2 polos no SPD

Para estabilidade é necessário N=-2 (2 voltas no sentido anti-horário), obtido para:

$$-\frac{1}{10} < -\frac{1}{K} < -\frac{1}{12}$$

Logo, o sistema é estável para:

$$10 < K < 12$$